

Zakrycia brzegowe gwiazd przez Księżyc

Zakrycia gwiazd przez brzeg tarczy Księżycy są zjawiskami chętnie obserwowanym przez miłośników astronomii. W czasie tego rodzaju zakrycia gwiazda niejako „ślizga się” po brzegu tarczy Księżycy i zakrywana/odkrywana jest przez nierówności terenu, wzgórza, brzegi kraterów itp.

Rejestracja zakryć brzegowych umożliwia nie tylko uściślenie parametrów orbity Księżycy, lecz, przede wszystkim, stworzenie dokładnych profili brzegu jego tarczy. Jest to, w pewnym sensie, jedyna metoda weryfikacji naziemnej zdjęć obszarów powierzchni naszego naturalnego satelity możliwych do obserwacji jedynie przez sondy kosmiczne. W szczególności, dotyczy to obszarów podbiegunowych Księżycy, gdzie wnętrza niektórych kraterów pogrążone są w wiecznym cieniu.

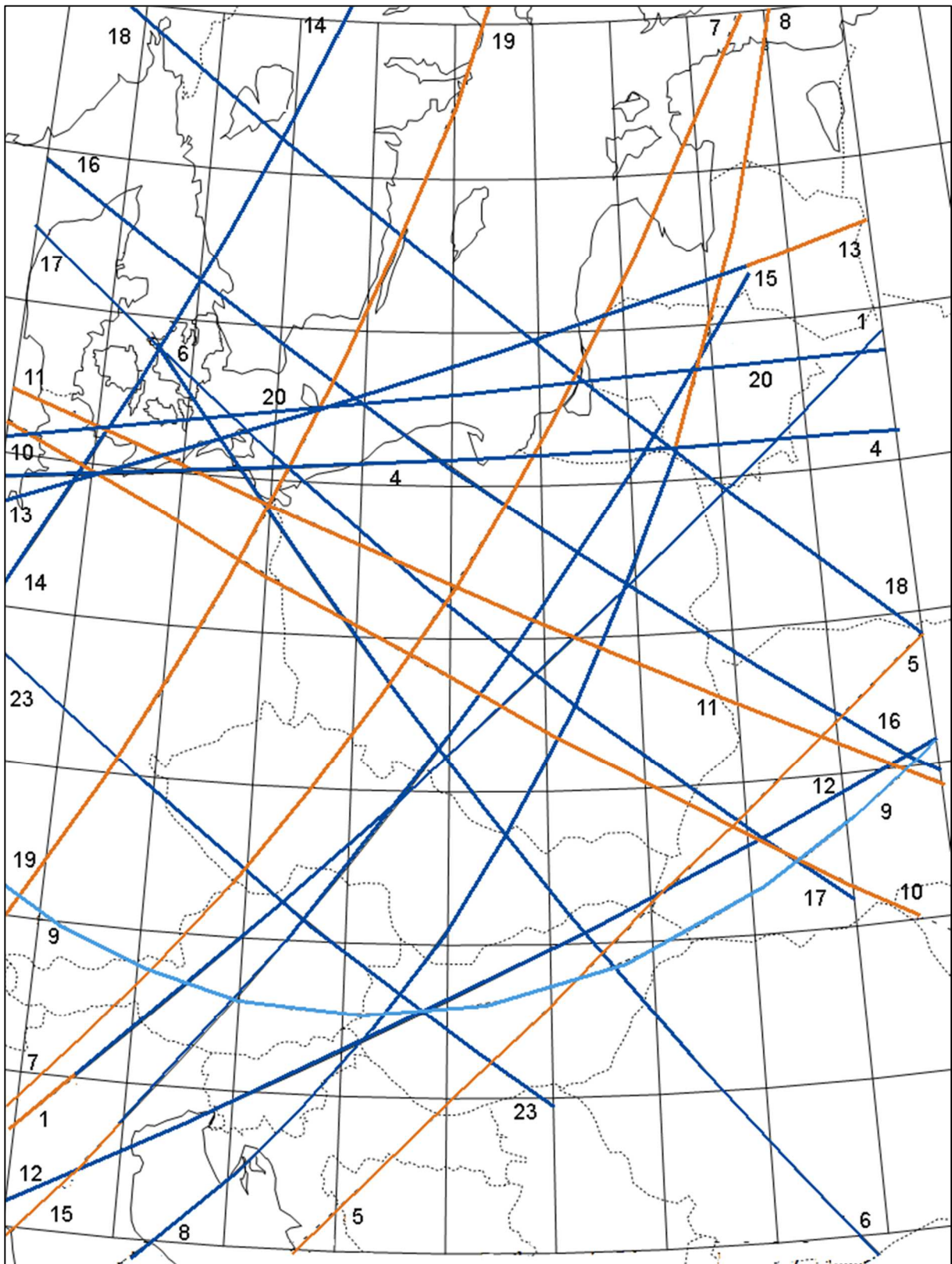
Załączona mapa i zestawienie podaje informacje o wszystkich zakryciach brzegowych, których pasy w 2025 r. przechodzą przez obszar Polski, bądź w pobliżu jej granic³⁵.

Poniższa tabela podaje następujące dane:

- Nr** – kolejny numer zakrycia brzegowego na załączonej mapie,
- Data 2025** – miesiąc i dzień wystąpienia zjawiska,
- UT** – godzina wystąpienia zjawiska (UT),
- ZC** – numer gwiazdy w Katalogu Zodiakalnym (ZC: 4 cyfry) lub SAO (5-6 cyfr),
- mag** – jasność gwiazdy (magnitudo),
- F_k** – faza Księżycy (ujemna - malejąca, dodatnia - rosnąca). Skrót „zac.” oznacza zjawisko odbywające się podczas zaćmienia Księżycy.
- Elon** – elongacja Księżycy od Słońca
- CA** – tzw. kąt wierzchołkowy zjawiska, liczony wokół brzegu Księżycy od najbliższego wierzchołka terminatora ku południowi (S) lub ku północy (N).
- A_k** – azymut Księżycy (liczony względem północy) (dla Warszawy),
- h_k** – wysokość Księżycy nad horyzontem (dla Warszawy),
- Nr zakr.** – numer zakrycia w tabelach na str. 218-225 (brak numeru oznacza, że zakrycie, jako takie, nie będzie widoczne z wybranych miast lub wystąpi tuż za granicami Polski)

Nr	Data 2025	UT	ZC	mag	F _k	Elon	CA	A _k	h _k	Nr zakr.
		h m				°	°			
1	I 2	16 13	3116	6.6	+8	34	19.2 S	224	7	3
2	10	2 57	552	2.9	+82	130	1.4 N	306	3	—
3	21	6 04	1930	5.3	-55	96	6.9 S	212	20	29
4	III 1	17 47	24	6.8	+4	23	5.6 S	266	5	—
5	5	12 59	560	3.6	+37	75	11.2 S	119	50	49
6	20	0 37	2276	5.6	-73	117	9.7 S	152	7	57
7	IV 29	6 28	552	2.9	+3	22	1.2 N	81	24	78
8	VI 18	1 31	3412	4.2	-58	100	10.8 N	137	23	94
9	VII 7	21 44	2383	2.8	+91	145	-8.8 S	201	7	104
10	20	12 13	552	2.9	-23	58	1.6 S	282	22	108
11	X 10	6 00	537	3.7	-87	137	8.1 S	273	29	153
12	14	23 37	1308	4.7	-36	74	3.5 N	75	15	—
13	16	0 47	1418	5.7	-26	61	0.3 N	82	15	160
14	XI 1	18 58	3412	4.2	+81	128	10.8 S	178	32	—
15	24	16 03	2848	5.6	+16	48	16.4 S	209	6	185
16	XII 4	4 07	545	4.1	+99	167	14.2 S	292	14	197
17	4	5 09	560	3.6	+99	168	14.6 S	303	6	199
18	15	3 41	1970	6.2	-20	53	14.7 S	135	11	—
19	24	14 05	3190	2.9	+18	51	13.5 S	179	22	—
20	28	21 29	173	6.5	+62	103	5.9 S	255	25	—

³⁵ Occultation Prediction Software by David Herald [online] <http://www.lunar-occultations.com/iota/occult4.htm> (dostęp 1.12.2023)



- przy ciemnym brzegu
- przy jasnym brzegu
- przy ciemnym brzegu, Słońce powyżej 5° pod horyzontem
- przy jasnym brzegu, Słońce powyżej 5° pod horyzontem